

## کاربرد نمایه توافق کاپا در پایش تغییرات پوشش سرزمین سواحل استان بوشهر (دوره زمانی ۱۳۶۷-۱۳۹۰)

مهدى غلامعلی‌فرد<sup>۱\*</sup>، شریف جورابیان شوشتاری<sup>۲</sup>، سید‌حمزه حسینی کهنج<sup>۳</sup>  
علی بالی<sup>۴</sup>، حسین دلشب<sup>۵</sup>، حسین معین<sup>۶</sup>

- ۱- بورسیه هیأت علمی گروه محیط‌زیست، دانشکده منابع طبیعی، دانشگاه تربیت مدرس، استان مازندران، نور، پست الکترونیکی: gholamalifard@gmail.com
- ۲- دانش آموخته کارشناسی ارشد محیط‌زیست، دانشکده منابع طبیعی، دانشگاه تربیت مدرس، استان مازندران، نور، پست الکترونیکی: sharif\_shooshtari@yahoo.com
- ۳- دانش آموخته گروه مرتعداری، دانشکده منابع طبیعی، دانشگاه تربیت مدرس، استان مازندران، نور، پست الکترونیکی: s.hamzeh.hossaini@gmail.com
- ۴- کارشناس مسئول پخش بررسی‌های جغرافیایی، دفتر زیستگاه‌ها و امور مناطق، معاونت محیط طبیعی و تنوع زیستی، سازمان حفاظت محیط‌زیست، پست الکترونیکی: bali51@yahoo.com
- ۵- کارشناس ارشد، اداره کل حفاظت محیط‌زیست استان بوشهر، پست الکترونیکی: hdelshab@yahoo.com
- ۶- کارشناس ارشد، اداره کل حفاظت محیط‌زیست استان بوشهر، پست الکترونیکی: hnmoein@yahoo.com

تاریخ پذیرش: ۹۱/۱۰/۱۱ تاریخ دریافت: ۹۰/۹/۲۱

\* نویسنده مسؤول

© نشریه علمی - پژوهشی اقیانوس‌شناسی ۱۳۹۱، تمامی حقوق این اثر متعلق به نشریه اقیانوس‌شناسی است.

### چکیده

تحقیق حاضر با هدف بررسی تغییرات کاربری اراضی سواحل استان بوشهر (۲۵۴۵۴۸۱/۲۹ هکتار) با استفاده از تحلیل طبقه‌بندی متقارض و داده‌های ماهواره‌ای سالهای ۱۳۶۷، ۱۳۷۹، ۱۳۸۴ و ۱۳۹۰ در محیط GIS انجام شد. نتایج نشان داد پوشش سرزمین منطقه‌ی ساحلی چار تغییرات چشمگیری شده، بطوری‌که در ۲۳ سال اخیر، ۲۰۸۰۷ هکتار از اراضی باز و ۳۷۲۴ هکتار از اراضی کشاورزی به کاربری مسکونی تبدیل شده است. همچنین ۶۷۸۹۰ هکتار از اراضی کشاورزی به اراضی باز تبدیل و دیگر کاربری‌ها نیز متحمل تغییرات شده‌اند. نتایج بررسی نمایه توافق کاپا نیز نشان داد که بین ۱۳۸۴-۱۳۹۰ بیشترین تغییرات (KIA: ۰/۹۲۱۲) و بین ۱۳۶۷-۱۳۷۹ کمترین تغییرات (۰/۹۵۰۶) رخ داده است. به‌طور کلی نتایج تحقیق بیانگر تغییرات نامتعادل پوشش سرزمین در سواحل استان بوشهر است و کاهش اراضی کشاورزی در جهت افزایش اراضی مسکونی و همچنین رها کردن اراضی کشاورزی مهمترین آن‌ها به‌شمار می‌آیند. بنابراین در صورت ادامه روند کنونی تخریب، مشکلات محیط‌زیستی و اجتماعی آینده مناطق ساحلی استان بوشهر را تهدید خواهد کرد.

کلمات کلیدی: آشکارسازی تغییرات، پوشش سرزمین، سنجش از دور، نمایه توافق کاپا، سواحل بوشهر.

## ۱. مقدمه

ساحلی کشور نیز تحقیقاتی انجام شده از جمله: روند تغییرات کاربری اراضی محدوده شهر اصفهان با استفاده از تکنیک آشکارسازی برداری تغییرات طی سال‌های ۱۳۶۶ تا ۱۳۷۷ توسط سفیانیان (۱۳۸۸) انجام شد. نتایج نشان داد طی این دوره ۳۳۶۰ هکتار از اراضی تغییر کاربری یافته‌اند که از این میزان ۱۳۴۰ هکتار که جز کاربری کشاورزی بوده به شهر تبدیل شده‌اند. جو رایان شوشتاری و همکاران (۱۳۹۰) با استفاده از تکنیک جدول‌بندی متقطع به بررسی تغییرات حوزه آبخیز نکا پرداختند و نتایج آن‌ها نشان داد که اراضی جنگلی کاهش قابل توجهی را داشته‌اند. سلمان ماهینی و همکاران (۱۳۸۷) نیز بیان داشتند که اراضی شهر گرگان تغییرات قابل توجهی داشته است و روند تغییرات در جهت کاهش پوشش درختی در منطقه است.

در خارج از کشور نیز تغییرات اراضی ساحلی و غیرساحلی با استفاده از تکنیک سنجش از دور انجام شده است. به طوری که Haack and Rafter (2006) به بررسی تغییرات کاربری اراضی کاتماندو نپال پرداختند و بیان داشتند که تغییرات در جهت افزایش اراضی شهری است. Abd El-Kawy et al., (2011) به آشکارسازی تغییرات کاربری اراضی در غرب دلتای رود نیل در مصر پرداختند و نتایج آن‌ها میان تغییرات اراضی این منطقه بود. Shalaby and Tateishi (2007) پایش تغییرات کاربری اراضی در منطقه ساحلی شمال غربی مصر را طی دوره زمانی ۱۹۸۷ و ۲۰۰۱ بررسی و از تکنیک جدول‌بندی متقطع برای تولید نقشه‌های کاربری اراضی و تغییرات استفاده کردند و بیان داشتند که طی دوره مورد مطالعه تغییرات زیادی در نتیجه کشاورزی و پرورش‌های توسعه‌ی گردشگری در منطقه به وجود آمده است. Coppin et al., (2004) نیز تحلیل طبقه‌بندی و جدول‌بندی متقطع را روش مناسبی برای آشکارسازی تغییرات عنوان کردند.

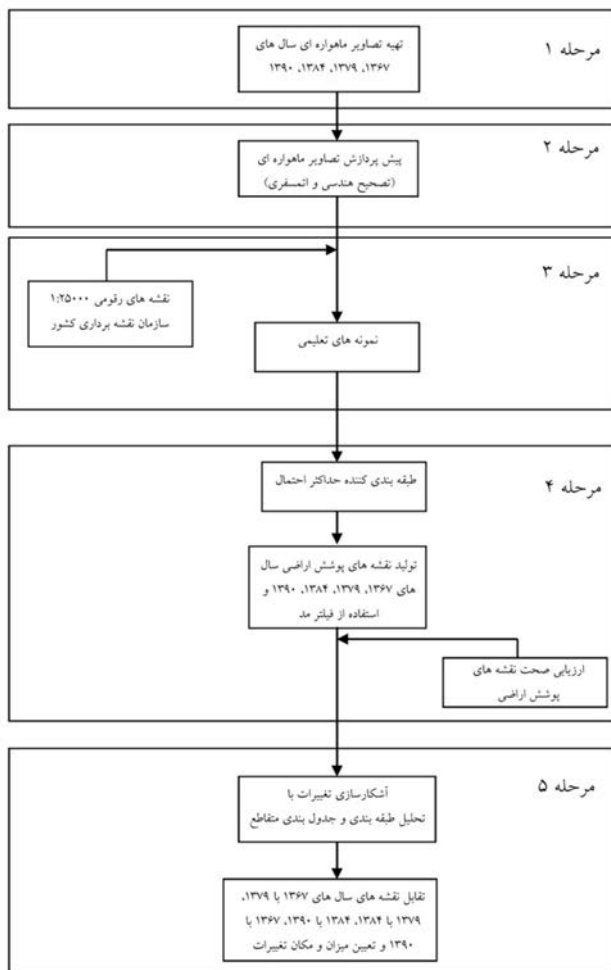
در سال‌های اخیر از تکنیک‌های متفاوتی مانند مقایسه بصری، مقایسه سلول با سلول، مقایسه بر مبنای قوانین محاسبه مجموعه فازی، مقایسه بر مبنای تطبیق الگوی فازی سلسه مراتبی، مقایسه بر مبنای آماره‌های نقشه جهت تعیین تغییرات نقشه‌های کیفی کاربری اراضی استفاده شده است. روش جدول‌بندی و طبقه‌بندی متقطع بر مبنای مقایسه سلول با سلول، روش متدالو و مناسبی بوده و نتایج قبل قبولی را ارائه می‌دهد. از طرفی بوشهر استان باریک و بلندی است که بیشتر وسعت آن از نظر تقسیم بندی طبیعی در دشت‌های ساحلی جنوب ایران قرار گرفته است و با

ناحیه‌ی ساحلی محل تلاقی دو زیست بوم خشکی و دریا با مختصات فیزیکی و زیستی مستقل است که ناحیه‌ی انتقالی با موقعیت جغرافیایی مشخص را می‌سازد. ایران را می‌توان کشوری نسبتاً ساحلی نامید (Ketchum, 1972)، زیرا بیش از ۳۰ درصد کل مرزهای آن را مناطق ساحلی تشکیل داده‌اند (شریفی‌پور و همکاران، ۱۳۸۷). از سوی دیگر، مناطق ساحلی نواحی پویایی از عملکرد متقابله زمین، آب و اتمسفر هستند، که در عین حال تحت تاثیر تغییرات دائم طبیعی و دستکاری انسان قرار دارند (Beatley et al., 2002). سواحل هر کشور از نظر اقتصادی، اجتماعی، سیاسی و حتی نظامی اهمیت خاصی دارند. امروزه، اهمیت پتانسیل عظیم سواحل و دریاها مانند حمل و نقل، انرژی، تأمین آب و غذا، گردشگری و نظایر آن بر کسی پوشیده نیست و خط ساحل به عنوان مرز خشکی و دریا از جایگاه ویژه‌ای برخوردار است. کشور ما نیز با وجود بیش از ۵۰۰۰ کیلومتر خط ساحلی در شمال و جنوب کشور از این ویژگی برخوردار است.

به هر حال به رغم اهمیت و استفاده‌هایی که مناطق ساحلی داشته است، بشر همواره آسیب‌هایی را به این مناطق وارد کرده است، به طوری که تخریب پوشش گیاهی باعث افزایش فرسایش در مناطق مجاور شده و در نتیجه مشکلات زیادی (از جمله: رسوب گرفتگی لنگرگاه‌ها و آسیب به موجودات زنده) را به وجود آورده است. در حالی که GIS توانایی مشارکت در مدیریت زون‌های ساحلی را به طرق بسیار مختلف دارد. همچنین همراهی تکنیک‌های سنجش از دور (RS) و پردازش تصویر جهت مشاهده تغییرات در اراضی ساحلی مفید است. بنابراین آشکارسازی تغییرات کاربری اراضی با استفاده از داده‌های سنجش از دور در محیط GIS می‌تواند شناخت مناسبی از چگونگی تغییرات کاربری اراضی ارائه و در مدیریت آن راهکارهای مناسبی را فراهم کند (Bakr et al., 2010; Mendoza et al., 2011). قزلسفلی و علوی‌پناه (۱۳۹۸) استفاده از تکنیک سنجش از دور را جهت بررسی تغییرات و مدیریت مناطق ساحلی به کار بردن و استفاده از سنجش از دور را برای این منظور توصیه کردند. نعیمی نظام آباد (۱۳۸۹) به بررسی تغییرات کاربری اراضی منطقه ساحلی عسلویه با استفاده از تکنیک سنجش از دور پرداختند و بیان داشتند که طی دوره مورد مطالعه در اراضی این منطقه تغییرات زیادی به وجود آمده است. درباره اراضی غیر

مختصات جغرافیایی مناطقی که مورد مطالعه قرار گرفتند شامل ۵۰ درجه و ۷ دقیقه و ۴۹ ثانیه تا ۵۳ درجه و ۷ دقیقه و ۲۱ ثانیه طول شرقی و ۲۷ درجه و ۷ دقیقه و ۴۹ ثانیه تا ۲۹ درجه و ۲۹ دقیقه و ۶۰ ثانیه عرض شمالی بود (شکل ۱).

## ۲-۲. روش کار



شکل ۲: نمودار جریانی روش‌شناسی

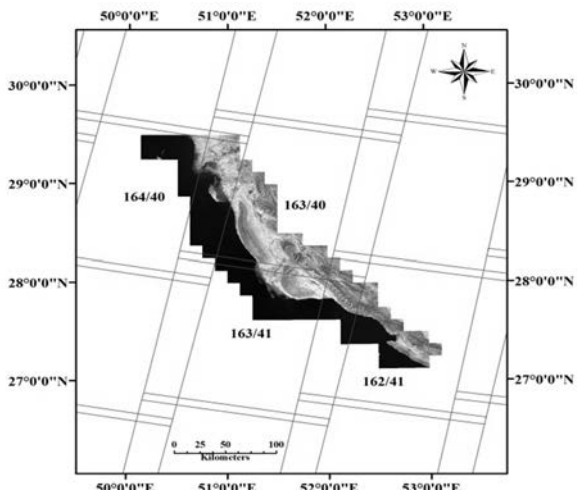
در تحقیق حاضر از داده‌های سنجش از دور شامل تصاویر سنجنده‌های TM و TM+ ماهواره Landsat سال‌های ۱۳۶۷، ۱۳۷۹، ۱۳۸۴ و ۱۳۹۰ (مرحله ۱ در شکل ۲) و نقشه‌های رقومی ۱:۲۵۰۰۰ سازمان نقشه برداری کشور استفاده شد. با توجه به ماهیت بررسی داده‌های کیفی پوشش سرزمین در تحقیق حاضر و عدم تغییر پوشش سرزمین در زمان‌های کوتاه، نزدیک‌ترین تصاویر برداشت شده به دوره‌های زمانی مورد نظر انتخاب شده و مورد استفاده قرار گرفتند (جدول ۱).

داشتن منابع انرژی (نفت، گاز و انرژی اتمی)، شرایط مناسب صید و صیادی و جاذبه‌های گردشگری از لحاظ سیاسی، اقتصادی، اجتماعی و گردشگری دارای اهمیت فوق العاده‌ای است. بنابراین مدیریت کاربری اراضی در چنین منطقه‌ای به مطالعه و ارزیابی‌های دقیقی نیاز دارد. در همین راستا تکنیک سنجش از دور با استفاده از تصاویر ماهواره‌ای می‌تواند با صرف وقت و هزینه کمی اطلاعات مناسبی از مدیریت گذسته و کنونی ارائه داده و راهکارهای مدیریتی مناسب را برای آینده کاربری اراضی منطقه ارائه دهد. بهمین منظور پژوهش حاضر با هدف بررسی چگونگی تغییرات پوشش سرزمین سواحل استان بوشهر طی دو دهه اخیر (۱۹۹۰-۲۰۱۱) با استفاده از تحلیل طبقه‌بندی و جدول‌بندی متقاطع در محیط GIS انجام گرفته و همچنین نمایه توافق کاپا که نشان‌دهنده درجه تشابه بین دو نقشه پوشش سرزمین می‌باشد محاسبه شد.

## ۲. مواد و روش‌ها

### ۱-۱. منطقه مورد مطالعه

استان بوشهر با وسعت ۲۷۶۵۳ کیلومتر مربع در جنوب غربی ایران و حاشیه خلیج فارس قرار دارد. این استان از شمال به خوزستان و کهکیلویه و بویراحمد، از جنوب شرقی به استان هرمزگان، از شرق به فارس و از جنوب و غرب با طول ۷۴۴/۴۹ کیلومتر مرز آبی به خلیج فارس محدود می‌شود (شریفی‌پور و همکاران، ۱۳۸۷).



شکل ۱: موقعیت منطقه‌ی مورد مطالعه و فرم‌های تصاویر ماهواره‌ای استفاده شده

دادهای سنجش از دوری در تک باندها، نمایش آن ها با استفاده از گامهای خاکستری (Gray Level) می باشد. از آنجایی که تفکیک و شناسائی پدیده ها به لحاظ رنگ نتایج بهتری ارائه می دهد، می توان از ترکیب DNS بازده های مختلف تصاویر رنگی استفاده نمود. متداول ترین روش، استفاده از سامانه RGB است. در این روش داده ها از سه باند با نورهای قرمز، سبز و آبی بر روی هم نمایان می گردند. تنها در حالتی که داده های حاصل از سه باند طیفی آبی، سبز و قرمز به ترتیب با نوارهای آبی، سبز و قرمز ترکیب شوند، تصاویر دارای رنگ حقیقی و در صورتی که دو شرط فوق احراز نشوند، تصویر ترکیب رنگی کاذب (False Color Composite) خواهد بود. در تحقیق حاضر به غیر از FCC234، سایر ترکیبات رنگی نیز تولید گردیدند و آن ها نیز به شناسایی عوارض کمک کردند (Khoi and Murayama, 2010). این تصاویر به تجسم انواع کاربری ها در منطقه کمک می کنند. از روش طبقه بندی نظارت شده برای تهیه نقشه های پوشش اراضی استفاده شد. اولین گام در انجام یک طبقه بندی نظارت شده تعریف مناطقی است که به عنوان نمونه های تعلیمی برای هر کلاس استفاده می شوند (Eastman, 2006). برای این مرحله با تفسیر بصیری تصویر ترکیب رنگی کاذب و با استفاده از نقشه های رقومی با مقیاس ۱:۲۵۰۰۰ تهیه شده توسط سازمان نقشه برداری کشور متعلق به سال ۱۳۸۶ نمونه های تعلیمی برای هر کلاس تعریف گردیدند (شکل ۳ و جدول ۲) (مرحله ۳ در دیاگرام روشن کار).

جدول ۲: تعداد پیکسل‌های نمونه‌های تعلیمی در هر طبقه در سال‌های مورد مطالعه

سال	۱۳۸۴	سال	۱۳۷۹	سال	۱۳۶۷	سال	۱۳۶۰	طبقات کاربری اراضی
۳۱۶۹۷	۳۱۶۹۷		۱۱۵۰۸		۱۱۶۰۲			کشاورزی
۱۵۳۰۵	۱۵۳۰۴		۱۱۶۶۵		۱۱۶۶۵			مسکونی
۶۱۲	۶۱۲		۶۱۲		۶۱۲			جنگل
۶۹۲۲۴۶۶	۶۹۲۲۴۶۶		۶۰۵۹۴۰۳		۸۶۳۶۵۹			اراضی باز/اصحراء
۵۴۹۶۲۵	۵۴۹۶۲۵		۵۴۹۶۲۵		۵۴۱۱۳۴			دریا/عمرق کم
۱۰۷۰۵۹۶۹	۱۰۷۰۵۹۶۹		۱۰۷۰۵۹۶۹		۱۰۷۰۵۹۶۹			دریا/عمرق زیاد

شش کلاس کاربری به صورت زیر: جنگل، اراضی کشاورزی شامل غلات، صیفی جات، نخلستان)، مناطق مسکونی، مناطق کم عمق دریا، مناطق عمیق دریا و اراضی باز در منطقه مشخص گردید. اراضی کشاورزی و جنگل در پژوهش‌های زیادی در طبقات مجزا تفکیک شده‌اند (Schulz et al., 2010; Qasim et al., 2011; Yamaguchi (2009). در مطالعه (Mallinis et al., 2011) تالاب از د. با و د. مطالعه (Dewan Mallinis et al. (2011)

#### جدول ۱: شماره گذر، ردیف و تاریخ فریم‌های استفاده شده در تحقیق

شماره فریم	تاریخ میلادی	تاریخ شمسی	دوره زمانی
۱۶۴۴۰.	۱۹۹۰-۱۹۰-۱	۱۳۷۱/۶/۱۰	۱۳۶۷
۱۶۲۴۱.	۱۹۹۰-۱۰/۱۳	۱۳۶۷/۷/۲۱	
۱۶۳۴۰.	۱۹۸۷-۴/۱۱	۱۳۶۶/-۱/۲۲	
۱۶۳۴۱.	۱۹۸۷/-۴/۱۱	۱۳۶۶/-۱/۲۲	
۱۶۴۴۰.	۲۰۰۰-۱/۳/۲۱	۱۳۸۰/-۱/۱۱	
۱۶۲۴۱.	۲۰۰۰/-۴/۱۵	۱۳۷۹/-۱/۲۷	
۱۶۳۴۰.	۲۰۰۰/-۴/۲۲	۱۳۷۹/-۲/۰۳	۱۳۷۹
۱۶۳۴۱.	۲۰۰۰/-۴/۲۲	۱۳۷۹/-۲/۰۳	
۱۶۴۴۰.	۲۰۰۰/-۳/۲۶	۱۳۸۴/-۱/۶	
۱۶۲۴۱.	۲۰۰۰/-۲/۲۷	۱۳۸۴/-۱/۰۸	
۱۶۴۴۰.	۲۰۰۰-۵/۰۳	۱۳۸۴/-۲/۱۴	۱۳۸۴
۱۶۳۴۱.	۲۰۰۰-۵/۰۶	۱۳۸۴/-۲/۱۵	
۱۶۴۴۰.	۲۰۱۱-۴/۲۸	۱۳۹۰/-۲/۰۸	
۱۶۲۴۱.	۲۰۱۱/-۹/۰۵	۱۳۹۰/-۶/۱۴	
۱۶۳۴۰.	۲۰۱۱/-۹/۱۲	۱۳۹۰/-۶/۲۱	
۱۶۳۴۱.	۲۰۱۱/-۹/۱۲	۱۳۹۰/-۶/۲۱	۱۳۹۰

۱-۲-۲. عملیات پیش برد از شدادهها

داده‌های ماهواره‌ای در مرحله تصحیح هندسی (Geometric Correction) با استفاده از نقشه‌های توپوگرافی ۱:۲۵۰۰۰ و ۱:۵۰۰۰۰ مورد تصحیح قرار گرفتند و همچنین تصحیح اتمسفری انجام و تصاویر مورد استفاده Orthorectified شد. از آنجا که متداول‌ترین روش تطبیق هندسی، استفاده از نقاط کنترل زمینی می‌باشد، در تحقیق حاضر نیز تطبیق هندسی مطلق استفاده شده است. آماره‌های مورد استفاده زمین مرجع‌سازی، RMS و Resolution ۱/۲ Residual Error است. مقدار RMS باید کمتر از تصویر ورودی باشد (یعنی ۱۵ در تحقیق مورد استفاده). با توجه به عدم دسترسی به داده‌های کامل مورد نیاز، در تحقیق حاضر تصحیح اتمسفری با استفاده از Cost Model (Chavez, 1996) و واسنجی (کالیبراسیون) رادیانس offset/gain انجام شده است. این روش همه عناصر Dark Object Subtraction Model و همچنین رویه‌ای برای برآوردن اثرات جذب گازهای اتمسفری و پراکنش Rayleigh را مورد استفاده قرار می‌دهد.

همچنین جهت افزایش کنترلاست و بهبود بصری، تصاویر مورد بازسازی قرار گرفتند (مرحله ۲ در دیاگرام روش کار). نرم افزار Idrisi مورد استفاده برای مراحل تحقیق شامل 9.3 ArcGIS و Andes هستند.

## ۲-۲-۲. تهیه نقشه کاربری اراضی

تصاویر ماهواره‌ای Landsat سنجنده‌های TM و ETM+، ۱۳۶۷

وجود، کار ساده‌ای نیست، زیرا چندین عدم قطعیت در آن وجود دارد. هنگامی که نقشه‌های کاربری اراضی از سنجنده‌های با اندازه پیکسل متفاوت تولید می‌شوند، بعضی از پدیده‌ها در تصاویر با قدرت تفکیک پایین‌تر قابل تشخیص نیستند، در صورتی که در تصاویر با قدرت تفکیک بالا قابل رویت هستند (Zanganeh Shahraki et al., 2011). البته در مطالعه حاضر کماکان این مشکل وجود داشت. با استفاده از روش طبقه‌بندی و جدول‌بندی متقطع انجام شد. به‌طوری‌که نقشه طبقات کاربری اراضی سالهای ۱۳۶۷، ۱۳۷۹، ۱۳۸۴ و ۱۳۹۰ با یکدیگر مقایسه شدند، به این ترتیب که نقشه‌های ۱۳۶۷ با ۱۳۷۹، ۱۳۸۴ با ۱۳۸۰ و در نهایت به‌صورت کلی نقشه‌های ۱۳۶۷ با ۱۳۹۰ دو به دو با یکدیگر مقابله داده شده و جدول تغییرات آن‌ها استخراج گردید (مرحله ۵ در دیاگرام روش کار) (VanOort, 2007). همچنین نمایه توافق کاپا نیز در هر دوره زمانی محاسبه گردید.

شاخص KIA عموماً برای تعیین ارزیابی صحت، اعتبار مدل و تغییر استفاده می‌شود. مهمترین انواع KIA عبارتند از: کاپا استاندارد، کاپا برای مکان، کاپا برای کمیت، کاپا برای نبود اطلاعات. در تحقیق حاضر از کاپا استاندارد استفاده شده است. کاپای استاندارد (Kstandard)، صحت نسبی مشاهده شده به مقایسه مواد انتظار را بر اساس شانس مقایسه می‌کند. در مقایسه دو نقشه کیفی کاربری اراضی، درستی کل عبارت است از نسبت پیکسل‌های مشابه به تعداد کل پیکسل‌های مورد مقایسه. به این ترتیب درستی کل که به درصد نیز بیان می‌گردد، میزان توافق و همخوانی دو تصویر را نشان می‌دهد. در محاسبه ضریب کاپا علاوه بر پیکسل‌های مشابه، پیکسل‌های غیر مشابه نیز دخالت داده می‌شوند (Rosenfield and Fitzpatrick-Lins, 1986; Carstensen, 1987; Pontius, 2000) فرمول محاسبه KIA به‌صورت زیر است:

$$K_i = \frac{p_{ii} - p_i.p_i}{p_i - p_i.p_i}$$

که:

$p_{ii}$  = نسبت تصویر کل در طبقه  $i$  که در هر دو تاریخ بدون تغییر است؛  
 $p_i$  = نسبت تصویر کل در طبقه  $i$  در تصویر رفرنس (تاریخ اول)؛

از منابع آبی نیز در طبقات جداگانه تفکیک گردیده‌اند. سپس نمونه‌های تعلیمی به شیوه رقومی سازی روی صفحه<sup>۱</sup> تولید و تفکیک شدند. به این مفهوم که مجموعه‌های کوچکی از پیکسل‌ها به عنوان نمونه‌های تعلیمی از طبقات مورد نظر بر روی تصویر به صورت on-screen تعیین می‌گردند. در نهایت طبقه‌بندی حداکثر ماهواره‌ای است (Eastman, 2006) که از روش طبقه‌بندی حداکثر احتمال استفاده شد (Schulz et al., 2010) و به‌منظور حذف قطعات کوچک و ساده‌سازی تصاویر حاصل از طبقه‌بندی‌ها از فیلتر مد (Mode) استفاده گردید (مرحله ۴ در دیاگرام روش کار).

### ۳-۲-۲. صحت طبقه‌بندی

ارزیابی صحت نقشه‌های طبقه‌بندی شده بدین صورت انجام شد که برای تصویر سال ۱۳۹۰ در مجموع ۳۴۷ نقطه با استفاده از GPS در منطقه برداشت شد (شکل ۴). سپس این نقاط واقعیت زمینی با تصویر طبقه‌بندی شده مقایسه شدند و ضرایب کاپا برای هر طبقه و کاپای کلی محاسبه گردید. ارزیابی صحت نقشه‌های طبقه‌بندی شده سالهای ۱۳۶۷، ۱۳۷۹ و ۱۳۸۴ با استفاده از تفسیر بصری و نقاط کنترل زمینی که در طول زمان تغییر نکردند محاسبه شد (به ترتیب ۳۱۱، ۲۹۵ و ۳۱۸ نقطه) (شکل ۴) (Schulz et al., 2010).

تعداد نقاط (n) با استفاده از فرمول زیر محاسبه شدند (Eastman, 2006)

$$n = z^2 pq/e^2$$

$z$  نمره استاندارد مورد نیاز برای سطح اطمینان مطلوب

$e$  فاصله اطمینان مطلوب

$p$  خطای نسبی تخمین زده شده از قبل

$$q=1-p$$

### ۴-۲-۲. آشکارسازی تغییرات

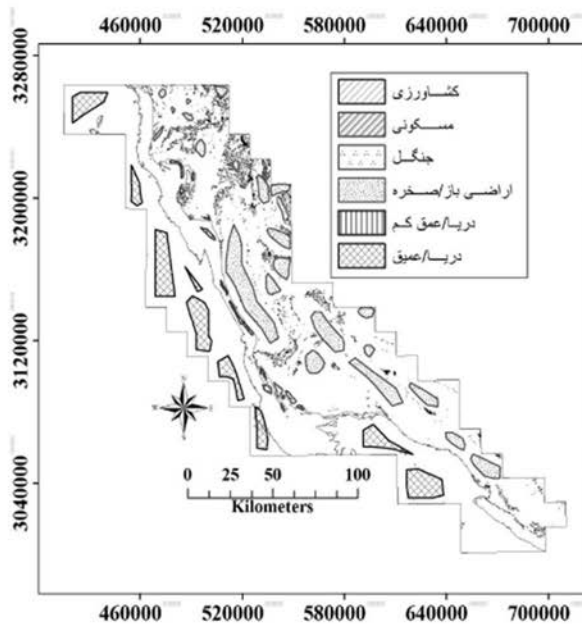
آشکارسازی تغییرات کاربری اراضی یک ابزار ضروری برای آنالیزهای محیط زیست، برنامه‌ریزی و مدیریت است. با این

<sup>۱</sup> on-screen digitizing

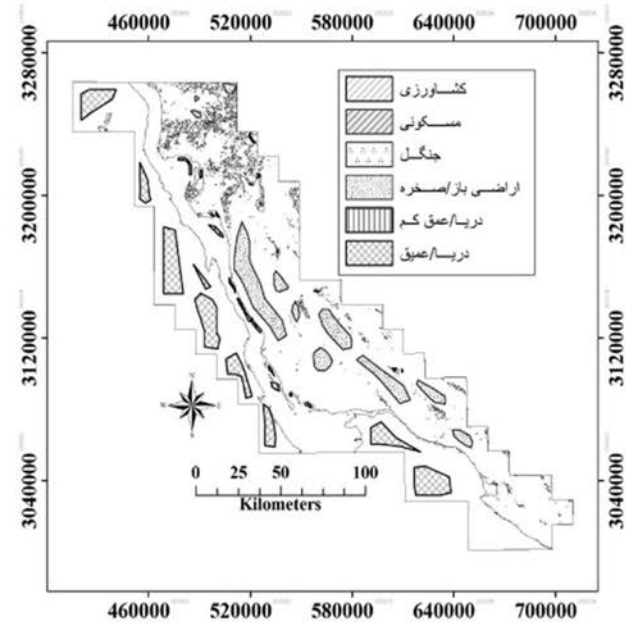
(عدم تغییر)، ضریب کاپا یک است و اگر یک تصویر کاملاً متفاوت از دیگری باشد (هیچ پیکسلی ارزش ثابت در دو تصویر نداشته باشد) ضریب کاپا ۱- است.

$p_i =$  نسبت تصویر کل در طبقه  $i$  در تصویر غیر رفرنس (تاریخ دوم).  
نمایه توانق کاپا از ۱- تا ۱+ است و نشان دهنده درجه تشابه بین تصاویر است. چنانچه دو تصویر تشابه کامل داشته باشند

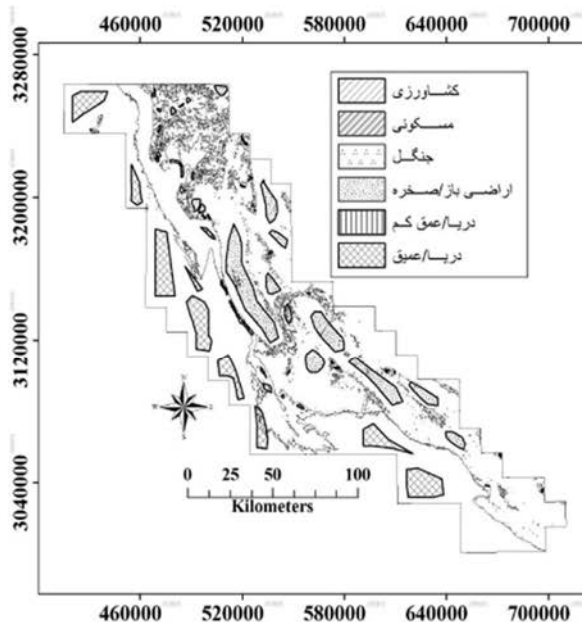
۱۳۶۷



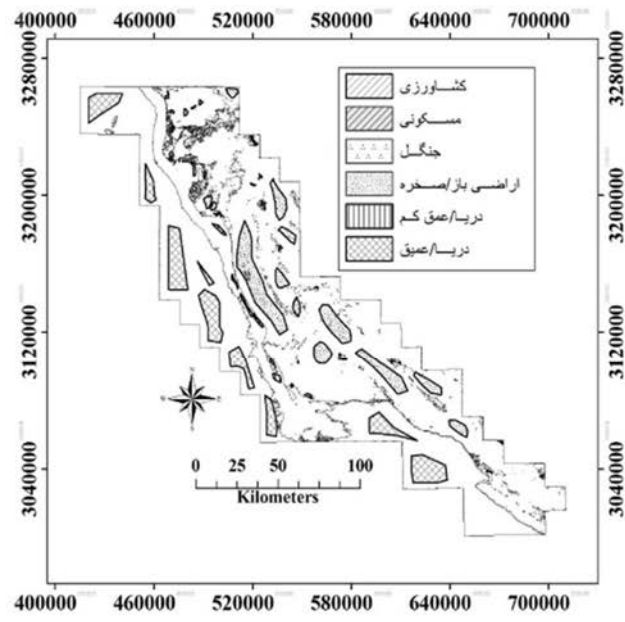
۱۳۷۹



۱۳۸۴

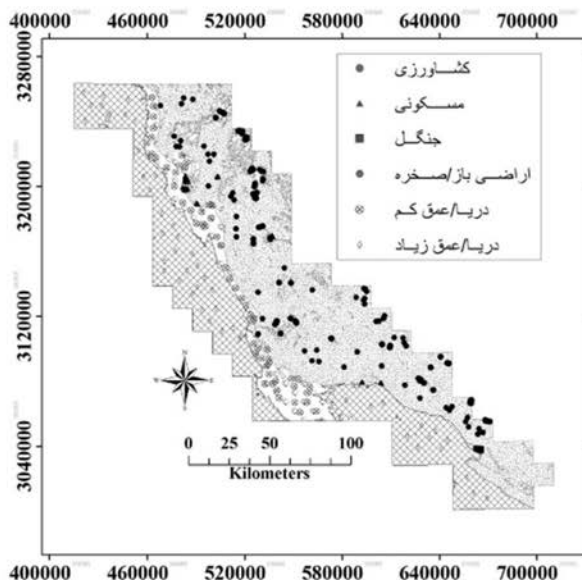


۱۳۹۰

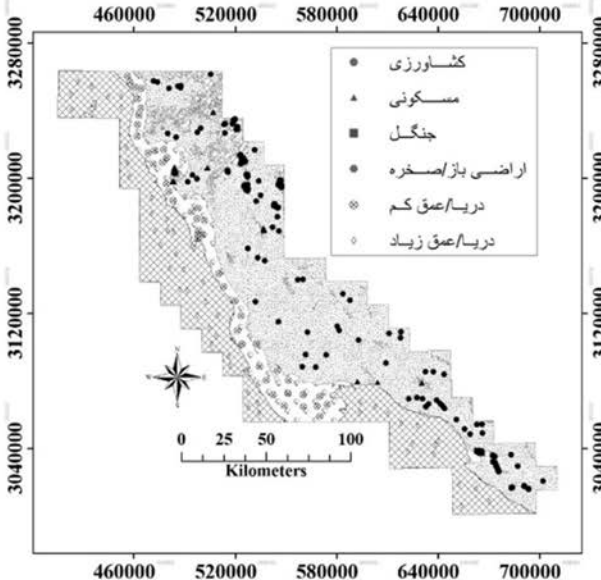


شکل ۳: توزیع مکانی نمونه‌های تعلیمی در سال‌های مورد مطالعه

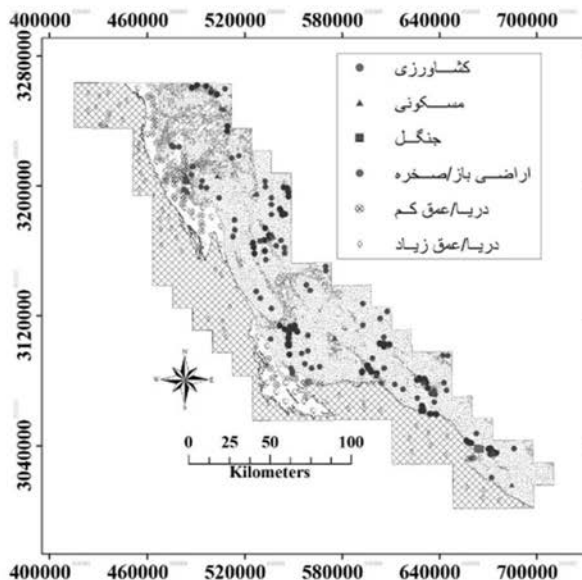
۱۳۶۷



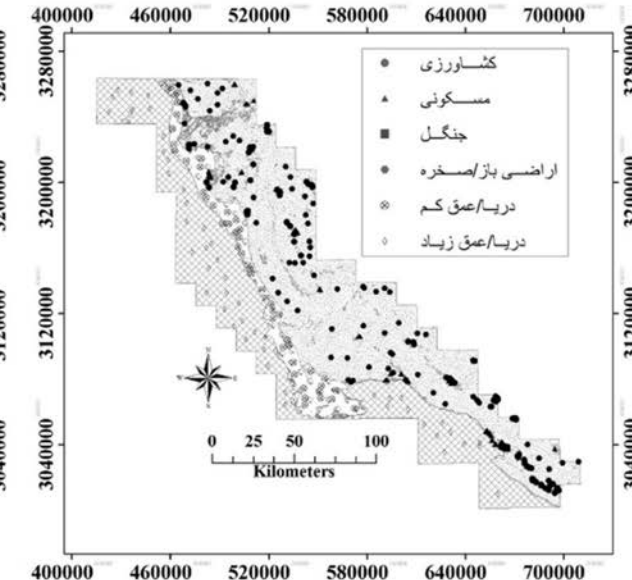
۱۳۷۹



۱۳۸۴



۱۳۹۰



شکل ۴: توزیع مکانی نمونه‌های واقعیت زمینی در سال‌های مورد مطالعه

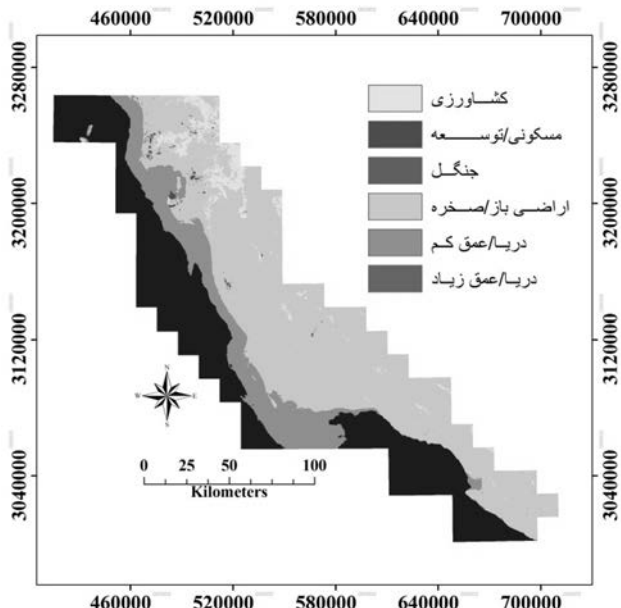
مورد مطالعه وجود داشت. برای نقشه‌های طبقه‌بندی شده ضریب کاپا برای سال‌های ۱۳۶۷، ۱۳۷۹، ۱۳۸۴ و ۱۳۹۰ به ترتیب برابر با  $۸۱/۴۰$ ،  $۸۱/۲۸$ ،  $۹۰/۵۸$  و  $۸۳/۶۱$  بود (جدول ۳). نقشه‌های کاربری اراضی مربوط به سال‌های مورد مطالعه (۱۳۶۷، ۱۳۷۹، ۱۳۸۴ و ۱۳۹۰) در زیر نشان داده شده است (شکل ۵، ۶، ۷ و ۸).

### ۳. نتایج

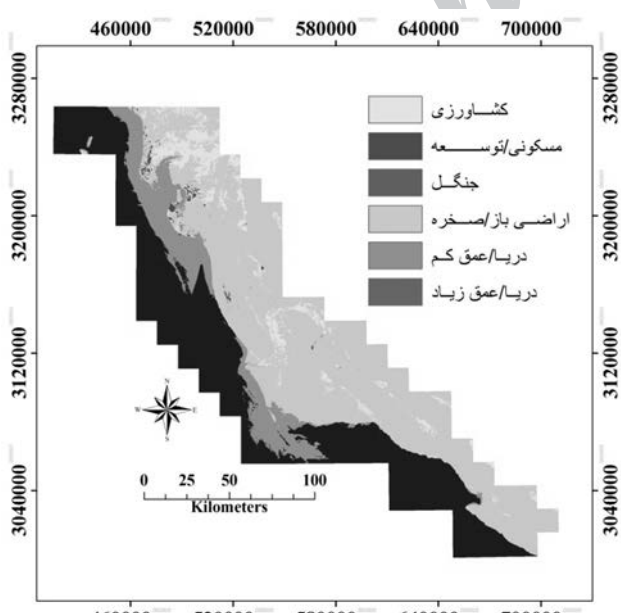
۱-۱. نقشه‌های کاربری اراضی و صحت طبقه‌بندی نتایج حاصل از طبقه‌بندی تصاویر با استفاده از الگوریتم حداقل احتمال نشان داد که ۶ طبقه‌ی کاربری اراضی در منطقه

هکتار به اراضی باز و صخره‌ای افزوده شده است. رشد و توسعه‌ی مناطق مسکونی و شهری در این مدت چشمگیر بوده و ۲۴۳۵۶ هکتار به این نواحی اضافه شده است.

میزان تغییرات طی دوره‌های مورد مطالعه یکسان نبوده است. به ترتیب ۳۸۹ و ۵۱۰ هکتار در دوره‌های اول و دوم به وسعت اراضی کشاورزی افزوده شده و در دوره سوم مطالعاتی ۱۰۳۵۳۳ هکتار از مساحت این کلاس کاسته شده است.



شکل ۶: نقشه کاربری اراضی سال ۱۳۷۹ منطقه مورد مطالعه



شکل ۷: نقشه کاربری اراضی سال ۱۳۸۴ منطقه مورد مطالعه

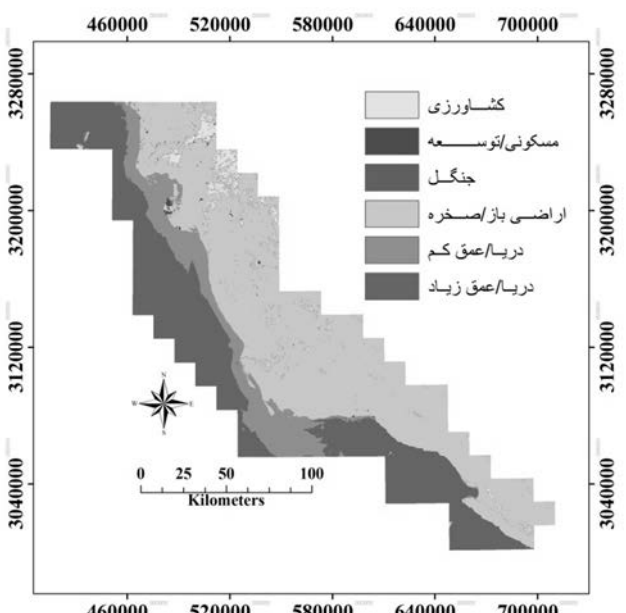
جدول ۳: ماتریس ارزیابی صحت نقشه‌های طبقه‌بندی شده	
کاپا	طبقات کاربری اراضی
۰/۸۴۷۲	کشاورزی
۱	مسکونی
۰/۸۰۵۷	جنگل
۰/۷۸۰۲	اراضی باز/اصخره
۱	دربا/عمق کم
۰/۹۷۵۵	دربا/عمق زیاد
۰/۹۰۵۸	کاپای کلی
۰/۸۲۸۳	کشاورزی
۰/۶۴۶۸	مسکونی
۰/۶۶۴۸	جنگل
۰/۷۷۴۶	اراضی باز/اصخره
۰/۹۷۴۳	دربا/عمق کم
۱	دربا/عمق زیاد
۰/۸۱۲۸	کاپای کلی
۰/۸۳۹۱	کشاورزی
۰/۵۴۳۸	مسکونی
۰/۷۸۷۳	جنگل
۰/۷۶۵۰	اراضی باز/اصخره
۱	دربا/عمق کم
۰/۹۵۱۳	دربا/عمق زیاد
۰/۸۱۴۰	کاپای کلی
۰/۷۲۲۵	کشاورزی
۰/۹۲۷۸	مسکونی
۰/۸۸۳۵	جنگل
۰/۶۶۶۲	اراضی باز/اصخره
۰/۹۳۰۴	دربا/عمق کم
۰/۹۷۵۲	دربا/عمق زیاد
۰/۸۳۶۱	کاپای کلی

نقشه طبقه‌بندی شده ۱۳۶۷

نقشه طبقه‌بندی شده ۱۳۷۹

نقشه طبقه‌بندی شده ۱۳۸۴

نقشه طبقه‌بندی شده ۱۳۹۰



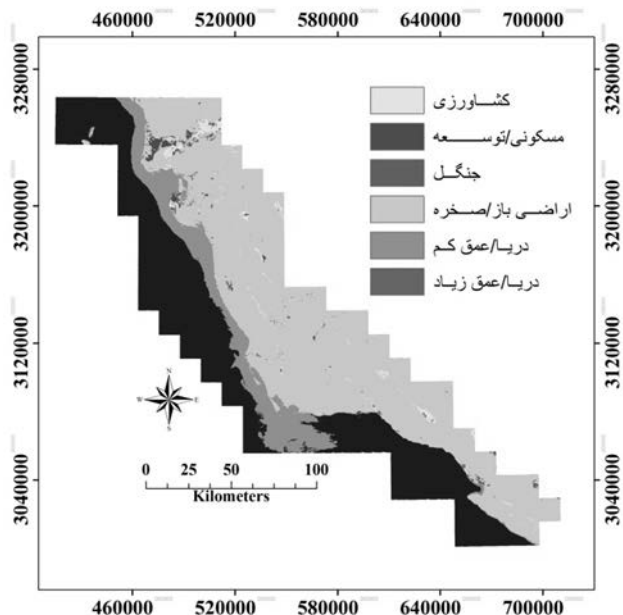
شکل ۵: نقشه کاربری اراضی سال ۱۳۶۷ منطقه مورد مطالعه

### ۳-۲. آشکارسازی تغییرات

نتایج نشان داد در کل دوره مورد مطالعه (۱۳۶۷-۱۳۹۰)، ۵۳۱۷۵ هکتار از وسعت اراضی کشاورزی کاسته شده و ۲۶۰۲۴

جدول ۵: ماتریس انتقال کاربری اراضی بین دوره‌های مورد مطالعه (بر حسب هکتار)

						۱۳۶۷		۱۳۶۷-۱۳۶۸		۱۳۷۹	
دریا	دریا	اراضی باز/صخره	جنگل	مسکونی	کشاورزی						
(عمق زیاد)	(عمق کم)										
-	-/۸۱	۴۴۱۳۵/۱۹	۴۵۱۶۲	۲۷۱/۷	۴۴۸۷۶/۰۷	کشاورزی					
-	۱۱/۷۹	۳۲۵۷/۴۶	۳/۲۴	۲۴۸-/۳۱	۵۲۲	مسکونی					
-	۳۱/۱۳	۱۵۷/۷۷	۹۵/۰۴	۱۷/۳۷	۴۳/۵۶	جنگل					
۵۳۹/۲۸	۱۱۴۳۰/۱۸	۱۲۶۱۲۸۰/۳۴	۲۶۳۹۷	۵۶۰۱/۰۱	۴۴۷۸۰/۱۳	اراضی باز/صخره					
۱۸۱۵۶/۷۸	۷۵۷۲۱/۷۸	۸۳۲/۱۴	۱/۰۸	۳۳/۵۷	۲/۷	(دربا عمق کم)					
۷۶۷۷۲۲/۲۸	۶۷۷۲۰/۴۶	۲۵۵/۶	.	۰۱۰/۴۲	.	(دربا عمق زیاد)					
							۱۳۸۴	۱۳۸۴-۱۳۷۹			
									۱۳۷۹		
دریا	دریا	اراضی باز/صخره	جنگل	مسکونی	کشاورزی						
(عمق زیاد)	(عمق کم)										
-	۲۵۳/۴۴	۳۹۴۲/۹۷	۲۹/۷	۹/۹	۵۰۵۷۸/۷۱	کشاورزی					
۱۰۲/۸۷	۱۹۳/۴۱	۳۴۶۷/۲	۰/۶۳	۳۹۵۹/۱۸	۹۲۴/۸۴	مسکونی					
-	۱۰۳/۷۲	۱۶۷/۲	۸۷/۲۱	.	۴۰/۸۶	جنگل					
۷۷۶/۰۳	۱۴۴۷۱/۶۴	۱۱۹۹۱۷۹/۸	۲۳۳/۴۶	۶۴۳۲/۱۲	۸۹۴۴۲/۵۶	اراضی باز/صخره					
۱۰۴۸۲/۶۱	۲۴۶۹۹۲/۲۳	۶۸۴۳/۰۶	۶۰/۴۸	۲۳/۲۱	۴۴/۹۱	(دربا عمق کم)					
۷۵۵۸۳۲/۱۵	۲۹۸۵۶/۹۲	۲۲۸/۹۱	.	۵/۴	.	(دربا عمق زیاد)					
							۱۳۹۰	۱۳۹۰-۱۳۸۴			
دریا	دریا	اراضی باز/صخره	جنگل	مسکونی	کشاورزی						
(عمق زیاد)	(عمق کم)										
-	۳/۶۹	۱۰۶۸۰/۲۱	.	۹۶۴۳/۰۶	۲۲۶۴۸/۶۸	کشاورزی					
-	۱۰/۲۵	۵۱۲۲/۹۷	.	۴۷۷۳/۰۶	۱۴/۷۶	مسکونی					
-	۲۲۷/۹۳	۲۲۶/۵۳	۱۱۲/۴	۱۷/۳۷	۲۶/۰۱	جنگل					
۱۸/۲۷	۳۰۲/۷۵۰	۱۲۱۵۴/۰/۰۷	۴۹/۰۹	۱۵۴۶/۳۶	۱۰۰۰/۰۸	اراضی باز/صخره					
۰۹۸۸۶/۹۹	۲۰۱۹۷۱/۳۴	۱۴۷۳۲/۱۰	۴/۸۶	۷۴۵/۶۵	۷۹۷۰/۹۹	(دربا عمق کم)					
۷۹۱۴۳۵/۲۵	۶۷۶۱۲/۹۵	۲۰/۱۲۴	.	۳۱/۷۷	۱۷/۵۵	(دربا عمق زیاد)					
							۱۳۸۴				



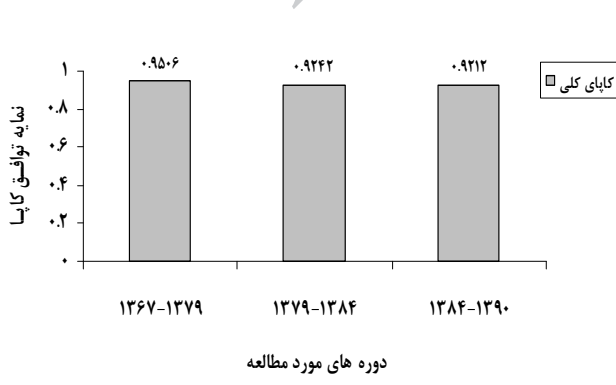
شکل ۸: نقشه پوشش اراضی سال ۱۳۹۰ منطقه مورد مطالعه

بین ۱۳۷۹-۱۳۷۸، ۱۳۶۷-۱۳۶۸ و ۱۳۸۴-۱۳۸۳ به ترتیب ۲۳۸۲، ۰۲۵۰ و ۱۷۹۵ هکتار توسعه در کاربری مسکونی مشاهده شد. بین سال‌های ۱۳۶۷-۱۳۷۹ و ۱۳۷۹-۱۳۸۴ و ۱۳۸۴-۱۳۸۳، به ترتیب ۱۴۰۲۶ و ۶۰۷۰۳ هکتار از وسعت اراضی باز و صخره‌ای کم شده، در صورتی که در دوره آخر (۱۳۸۴-۱۳۹۰)، ۹۸۶۶۴ هکتار به مساحت این کلاس افزوده شده است. هکتار در دوره‌ی ۴۰۳ اول به وسعت جنگل اضافه شد. در دو دوره‌ی بعد به ترتیب ۴۰۳ و ۲۴۰ هکتار از کاربری جنگل کم شد (جدول ۴ و ۵).

جدول ۴: تغییرات کاربری اراضی طی دوره‌های مورد مطالعه

سال مورد مطالعه	دریا	اراضی باز/صخره	دریا								
۱۳۶۷	۱۳۶۷	۱۳۶۷	۱۳۶۷	۱۳۶۷	۱۳۶۷	۱۳۶۷	۱۳۶۷	۱۳۶۷	۱۳۶۷	۱۳۶۷	۱۳۶۷
۱۳۶۸	۱۳۶۸	۱۳۶۸	۱۳۶۸	۱۳۶۸	۱۳۶۸	۱۳۶۸	۱۳۶۸	۱۳۶۸	۱۳۶۸	۱۳۶۸	۱۳۶۸
۱۳۶۹	۱۳۶۹	۱۳۶۹	۱۳۶۹	۱۳۶۹	۱۳۶۹	۱۳۶۹	۱۳۶۹	۱۳۶۹	۱۳۶۹	۱۳۶۹	۱۳۶۹
۱۳۷۰	۱۳۷۰	۱۳۷۰	۱۳۷۰	۱۳۷۰	۱۳۷۰	۱۳۷۰	۱۳۷۰	۱۳۷۰	۱۳۷۰	۱۳۷۰	۱۳۷۰
۱۳۷۱	۱۳۷۱	۱۳۷۱	۱۳۷۱	۱۳۷۱	۱۳۷۱	۱۳۷۱	۱۳۷۱	۱۳۷۱	۱۳۷۱	۱۳۷۱	۱۳۷۱
۱۳۷۲	۱۳۷۲	۱۳۷۲	۱۳۷۲	۱۳۷۲	۱۳۷۲	۱۳۷۲	۱۳۷۲	۱۳۷۲	۱۳۷۲	۱۳۷۲	۱۳۷۲
۱۳۷۳	۱۳۷۳	۱۳۷۳	۱۳۷۳	۱۳۷۳	۱۳۷۳	۱۳۷۳	۱۳۷۳	۱۳۷۳	۱۳۷۳	۱۳۷۳	۱۳۷۳
۱۳۷۴	۱۳۷۴	۱۳۷۴	۱۳۷۴	۱۳۷۴	۱۳۷۴	۱۳۷۴	۱۳۷۴	۱۳۷۴	۱۳۷۴	۱۳۷۴	۱۳۷۴
۱۳۷۵	۱۳۷۵	۱۳۷۵	۱۳۷۵	۱۳۷۵	۱۳۷۵	۱۳۷۵	۱۳۷۵	۱۳۷۵	۱۳۷۵	۱۳۷۵	۱۳۷۵
۱۳۷۶	۱۳۷۶	۱۳۷۶	۱۳۷۶	۱۳۷۶	۱۳۷۶	۱۳۷۶	۱۳۷۶	۱۳۷۶	۱۳۷۶	۱۳۷۶	۱۳۷۶
۱۳۷۷	۱۳۷۷	۱۳۷۷	۱۳۷۷	۱۳۷۷	۱۳۷۷	۱۳۷۷	۱۳۷۷	۱۳۷۷	۱۳۷۷	۱۳۷۷	۱۳۷۷
۱۳۷۸	۱۳۷۸	۱۳۷۸	۱۳۷۸	۱۳۷۸	۱۳۷۸	۱۳۷۸	۱۳۷۸	۱۳۷۸	۱۳۷۸	۱۳۷۸	۱۳۷۸
۱۳۷۹	۱۳۷۹	۱۳۷۹	۱۳۷۹	۱۳۷۹	۱۳۷۹	۱۳۷۹	۱۳۷۹	۱۳۷۹	۱۳۷۹	۱۳۷۹	۱۳۷۹
۱۳۸۰	۱۳۸۰	۱۳۸۰	۱۳۸۰	۱۳۸۰	۱۳۸۰	۱۳۸۰	۱۳۸۰	۱۳۸۰	۱۳۸۰	۱۳۸۰	۱۳۸۰
۱۳۸۱	۱۳۸۱	۱۳۸۱	۱۳۸۱	۱۳۸۱	۱۳۸۱	۱۳۸۱	۱۳۸۱	۱۳۸۱	۱۳۸۱	۱۳۸۱	۱۳۸۱
۱۳۸۲	۱۳۸۲	۱۳۸۲	۱۳۸۲	۱۳۸۲	۱۳۸۲	۱۳۸۲	۱۳۸۲	۱۳۸۲	۱۳۸۲	۱۳۸۲	۱۳۸۲
۱۳۸۳	۱۳۸۳	۱۳۸۳	۱۳۸۳	۱۳۸۳	۱۳۸۳	۱۳۸۳	۱۳۸۳	۱۳۸۳	۱۳۸۳	۱۳۸۳	۱۳۸۳
۱۳۸۴	۱۳۸۴	۱۳۸۴	۱۳۸۴	۱۳۸۴	۱۳۸۴	۱۳۸۴	۱۳۸۴	۱۳۸۴	۱۳۸۴	۱۳۸۴	۱۳۸۴
۱۳۸۵	۱۳۸۵	۱۳۸۵	۱۳۸۵	۱۳۸۵	۱۳۸۵	۱۳۸۵	۱۳۸۵	۱۳۸۵	۱۳۸۵	۱۳۸۵	۱۳۸۵
۱۳۸۶	۱۳۸۶	۱۳۸۶	۱۳۸۶	۱۳۸۶	۱۳۸۶	۱۳۸۶	۱۳۸۶	۱۳۸۶	۱۳۸۶	۱۳۸۶	۱۳۸۶
۱۳۸۷	۱۳۸۷	۱۳۸۷	۱۳۸۷	۱۳۸۷	۱۳۸۷	۱۳۸۷	۱۳۸۷	۱۳۸۷	۱۳۸۷	۱۳۸۷	۱۳۸۷
۱۳۸۸	۱۳۸۸	۱۳۸۸	۱۳۸۸	۱۳۸۸	۱۳۸۸	۱۳۸۸	۱۳۸۸	۱۳۸۸	۱۳۸۸	۱۳۸۸	۱۳۸۸
۱۳۸۹	۱۳۸۹	۱۳۸۹	۱۳۸۹	۱۳۸۹	۱۳۸۹	۱۳۸۹	۱۳۸۹	۱۳۸۹	۱۳۸۹	۱۳۸۹	۱۳۸۹
۱۳۹۰	۱۳۹۰	۱۳۹۰	۱۳۹۰	۱۳۹۰	۱۳۹۰	۱۳۹۰	۱۳۹۰	۱۳۹۰	۱۳۹۰	۱۳۹۰	۱۳۹۰

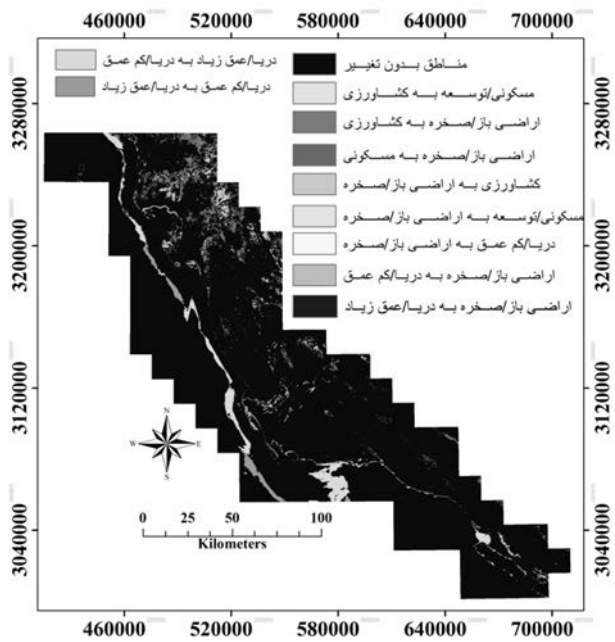
نتایج حاصل از نمایه توافق کاپا در هر طبقه نشان داد که بیشترین تغییر طی سال‌های ۱۳۶۷-۱۳۶۸ و ۱۳۷۹-۱۳۸۰ در کلاس جنگل (به ترتیب ۰/۰۷۵۴ و ۰/۱۰۷۰) و طی سال‌های ۱۳۸۴-۱۳۸۵ در اراضی کشاورزی (۰/۱۵۶۳) رخ داده است (جدول ۶ و شکل ۹). کاپای کلی نیز نشان داد که بیشترین تغییرات بین سال‌های ۱۳۸۴-۱۳۹۰ (۰/۹۲۱۲) و ۱۳۸۴-۱۳۹۰ (۰/۱۳۷۰) اتفاق افتاده است (شکل ۱۰).



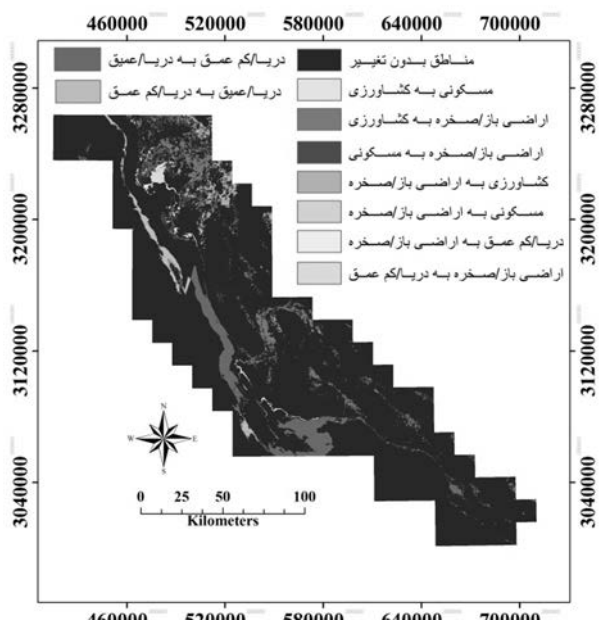
شکل ۱۰: کاپای کلی در دوره مورد مطالعه

## ۲-۲-۳. نقشه تغییرات

نقشه‌های تغییرات کاربری اراضی بین سال‌های ۱۳۶۷-۱۳۷۹ و ۱۳۸۴-۱۳۹۰ در شکل‌های ۱۱، ۱۲ و ۱۳ نشان داده شده است.



شکل ۱۱: نقشه توزیع مکانی تغییرات کاربری اراضی بین ۱۳۶۷ و ۱۳۷۹



شکل ۱۲: نقشه توزیع مکانی تغییرات کاربری اراضی بین ۱۳۷۹ و ۱۳۸۴

جدول ۶: نمایه توافق کاپا در کلاس‌های کاربری اراضی در ۳ دوره مورد مطالعه

دوره مورد مطالعه	طبقات کاربری اراضی	نمایه توافق کاپا
-۰/۹۳۳۴	کشاورزی	
-۰/۹۴۴۴	مسکونی	
-۰/۲۷۵۴	جنگل	
-۰/۹۴۲۹	اراضی باز و مناطق صخره‌ای	۱۳۶۷-۱۳۷۹
-۰/۹۳۲۳	دریا با عمق کم	
-۰/۹۱۵۴	دریا با عمق زیاد	
-۰/۵۵۱۴	کشاورزی	
-۰/۴۵۷۸	مسکونی	
-۰/۱۰۷۰	جنگل	۱۳۷۹-۱۳۸۴
-۰/۸۹۹۰	اراضی باز و مناطق صخره‌ای	
-۰/۶۶۵۰	دریا با عمق کم	
-۰/۹۵۶۹	دریا با عمق زیاد	
-۰/۱۵۶۳	کشاورزی	
-۰/۴۵۴۷	مسکونی	
-۰/۲۷۵۶	جنگل	۱۳۸۴-۱۳۹۰
-۰/۹۶۷۰	اراضی باز و مناطق صخره‌ای	
-۰/۷۰۶۱	دریا با عمق کم	
-۰/۹۰۸۴	دریا با عمق زیاد	

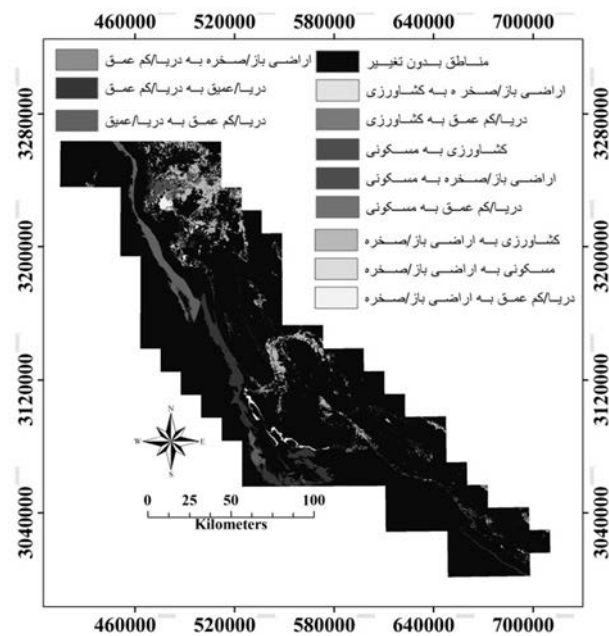
## ۱-۲-۳. تغییر خالص و انتقال بین کاربری اراضی

در کل دوره مورد مطالعه ۳۷۷۲۴ هکتار از اراضی کشاورزی به کاربری مسکونی و ۶۷۸۹۰ هکتار به اراضی باز تبدیل شده است. بین سال‌های ۱۳۶۷-۱۳۹۰، میزان ۲۰۸۰۷ هکتار تغییر خالص از اراضی باز و نواحی صخره‌ای به کاربری مسکونی و توسعه یافته رخ داده است. بین سال‌های ۱۳۶۷-۱۳۷۹، تغییر خالص از اراضی باز به مناطق مسکونی و توسعه یافته ۲۳۹۴ هکتار بود. همچنین در این دوره ۱۴ هکتار تغییر خالص از جنگل به مناطق مسکونی و توسعه یافته مشاهده شد.

در دوره دوم تغییر خالص از جنگل به اراضی کشاورزی ۳۷۹ هکتار بود. طی سال‌های ۱۳۷۹-۱۳۸۴ تغییر خالص از اراضی باز و مناطق صخره‌ای به اراضی کشاورزی ۵۰۰۰۰ هکتار بود. در این دوره ۲۹۶۹ هکتار تغییر خالص از اراضی باز به مناطق مسکونی و توسعه یافته رخ داد. ۹۶۲۷ هکتار تغییر خالص از اراضی باز کشاورزی به مناطق مسکونی و ۹۶۸۸۹ هکتار تغییر خالص از اراضی کشاورزی به اراضی باز و نواحی صخره‌ای در دوره آخر مشاهده شد. در دوره سوم میزان تغییر خالص از جنگل به کشاورزی و اراضی باز و نواحی صخره‌ای به مناطق مسکونی و توسعه یافته به ترتیب ۲۶ و ۱۰۱۳ هکتار بود (شکل‌های ۱۰، ۹ و ۱۱).

مربوط به مطالعه نعیمی نظام آباد و همکاران (۱۳۸۹) است که تغییرات خط ساحلی و لندفرم‌های ژئومورفولوژیکی منطقه‌ی ساحلی عسلویه را بررسی کردند و گسترش صنایع مختلف (از جمله: نفت و گاز) را عامل اصلی تغییرات بوجود آمده در این منطقه، عنوان کردند. همچنین غلامی‌نیا (۱۳۷۹) به تحلیل فضایی کاربری اراضی شهر بوشهر پرداخت و بیان داشت که بخش قابل توجهی از اراضی این منطقه توسط نیروی هوایی و دریایی و نیروگاه اتمی پوشیده شده است. بنابراین عوامل مذکور خود دلیل محکمی بر تغییر کاربری اراضی این منطقه در جهت کاهش اراضی ساحلی منطقه مورد مطالعه می‌باشد. ضمن اینکه ضیائیان فیروزآبادی (۱۳۸۹) بیان داشت که در سواحل بوشهر قوانین مربوط به مناطق ساحلی رعایت نشده است و بایستی مورد توجه جدی قرار گیرد. از سوی دیگر، تغییرات کاربری اراضی در این منطقه می‌تواند آسیب‌های زیستمحیطی زیادی را نیز به دنبال داشته باشد، به طوری که شریفی‌پور و همکاران (۱۳۸۷) حساسیت‌های زیستمحیطی سواحل بوشهر را مطالعه کردند و بیان داشتند که به دلیل توسعه صنعتی و اقتصادی رو به رشد منطقه، صنایع نفت و گاز از عمده‌ترین تهدیدها برای محیط زیست این منطقه هستند. بنابراین به نظر می‌رسد که توسعه کاربری اراضی این منطقه در جهت استقرار صنایع بزرگ و ارزشمند بوده است و باید تاریخچه‌ی تغییر و تبدیل‌های اراضی و روند کنونی آن مد نظر مدیران قرار گیرد تا در جهت آینده بهتر منطقه، مفید واقع شود.

به طور کلی داده‌های ماهواره‌ای که در این تحقیق استفاده شد، علاوه بر اینکه از ۲۳ سال گذشته تاکنون (۱۳۹۰) را شامل است، مساحت زیادی را (حدود ۲/۵ میلیون هکتار) پوشش داده است که حاوی اطلاعات به روز و ارزشمندی است، و می‌تواند در جهت مدیریت منطقه به برنامه‌ریزان کمک کند. بنابراین با توجه به وضعیت خاص مناطق ساحلی استان بوشهر از لحاظ سیاسی، انرژی (نفت، گاز و اتمی)، فرصت‌های شغلی زیادی فراهم شده است و این امر حساسیت موضوع را آشکارتر کرده است. به طور کلی مدیریت این منطقه ساحلی باید بر اساس برنامه‌های آمایش سرزمین و به صورت اصولی و دقیق انجام شود. شایان ذکر است که در صورت ادامه روند کنونی تخریب اراضی کشاورزی و افزایش اراضی مسکونی، مشکلات زیاد زیست محیطی و اجتماعی، آینده‌ی مناطق ساحلی استان بوشهر را تهدید خواهد کرد.



شکل ۱۳: نقشه توزیع مکانی تغییرات کاربری اراضی بین ۱۳۸۴ و ۱۳۹۰

#### ۴. بحث و نتیجه‌گیری

در این مطالعه آشکارسازی تغییرات پوشش سرزمین سواحل استان بوشهر بر اساس تحلیل طبقه‌بندی و جدول‌بندی متقاطع انجام شد. نتایج تحقیق حاضر نشان داد که مساحت قابل توجهی از کاربری اراضی مختلف به سایر کاربری‌ها تبدیل شده‌اند. Shalaby and Tateishi (2007) نیز به بررسی مناطق ساحلی در کشور مصر پرداختند و به نتایج مشابهی با این مطالعه دست یافتند. به رغم اینکه در دوره ۱۳۷۹-۱۳۸۴ افزایش موقتی در اراضی کشاورزی رخ داده است اما این کاربری دوره بعدی (۱۳۸۴-۱۳۹۰)، کاهش چشمگیری را نشان داد. بنابراین این امر بیانگر مدیریت نامتعادل صنعت کشاورزی این منطقه می‌باشد. به هر حال در کل دوره ۲۳ ساله مورد مطالعه (۱۳۶۷-۱۳۹۰) مساحت قابل توجهی از اراضی کشاورزی به اراضی مسکونی تبدیل شده است. همچنین در تایید وضعیت رو به رشد اراضی مسکونی، نتایج تغییرات کاربری اراضی اراضی نشان داد که ۲۰۸۰ هکتار از اراضی باز نیز به اراضی مسکونی تبدیل شده است. همچنین نمایه توافق کاپا نشان داد که در دوره سوم (۱۳۸۴-۱۳۹۰) بیشترین تغییرات و در دوره اول مورد مطالعه (۱۳۶۷-۱۳۷۹) کمترین تغییرات را داشته‌ایم. از جمله محدود تحقیقاتی که بر روی تغییرات سواحل این منطقه انجام شده

## ۵. سپاسگزاری

نعمی نظام آباد، ع؛ قهرودی تالی، م؛ ثروتی، م.ر.، ۱۳۸۹. پایش تغییرات خط ساحلی و لند弗م‌های ژئوموفورولوژیکی خلیج فارس با استفاده از تکنیک سنجش از دور و سیستم اطلاعات جغرافیایی. *مجله فضای جغرافیایی*. سال دهم، شماره ۳۰، صفحات ۴۵-۶۱.

Abd El-Kawy, O.R.; Rød, J.K.; Ismail, H.A.; Suliman, A.S., 2011. Land use and land cover change detection in the western Nile delta of Egypt using remote sensing data. *Applied Geography*, 31(2): 483-494.

Bakr, N.; Weindorf, D.C.; Bahnassy, M.H.; Marei, S.M.; El-Badawi, M.M., 2010. Monitoring land cover changes in a newly reclaimed area of Egypt using multi-temporal Landsat data. *Applied Geography*, 30: 592-605.

Bartlett, D.J., 1989. The Design and Implementation of Coastal Zone Management Information Systems. Unpublished MSc thesis, University of Edinburgh, Scotland.

Beatley, T.D.; Brower J.; Schwab A.K., 2002. An introduction to coastal zone management. Second edition, Island press. 329 pp.

Carstensen, L.W., 1987. A Measure of Similarity for Cellular Maps, In *The American Cartographer*, 14(4): 345-358.

Chavez, P.S., 1996. Image-Based Atmospheric Corrections-Revisited and Improved. *Photogrammetric Engineering and Remote Sensing*, 62(9): 1025-1036.

Coppin, P.; Jonckheere, I.; Nackaerts, K.; Muys, B.; Lambin, E., 2004. Review Article Digital change detection methods in ecosystem monitoring: a review. *International Journal of Remote Sensing*, 25(9): 1565-1596.

Dewan, A.M.; Yamaguchi, Y., 2009. Land use and land cover change in Greater Dhaka, Bangladesh: Using remote sensing to promote sustainable urbanization. *Applied Geography*, 29(3): 390-401.

Eastman, J.R., 2006. IDRISI Andes. Guide to GIS and Image Processing. Clark Labs, Clark University.

نگارش حاضر بخشی از نتایج طرح پژوهشی مابین اداره کل حفاظت محیط‌زیست استان بوشهر (کارفرما) و جهاد دانشگاهی واحد صنعتی شریف (مشاور) به شماره قرارداد ۱۱۸۵۴-۱۲۲۰/۲ می‌باشد. بدین‌وسیله مراتب سپاس و قدردانی به‌دلیل فراهم نمودن زمینه و بستر لازم برای انجام این پژوهش علمی و کاربردی ابراز می‌گردد.

## منابع

جورابیان شوشتاری، ش؛ اسماعیلی ساری، ع؛ حسینی، س.م؛ غلامعلی‌فرد، م، (تحت چاپ). کاربرد رگرسیون لجستیک و زنجیره مارکف در پیش‌بینی تغییرات کاربری اراضی شرق استان مازندران. *مجله محیط زیست طبیعی*.

سفیانیان، ع.، ۱۳۸۸. بررسی تغییرات کاربری اراضی محدوده شهر اصفهان با استفاده از تکنیک آشکارسازی برداری تغییرات طی سال‌های ۱۳۶۶ تا ۱۳۷۷. *مجله علوم آب و خاک (علوم و فنون کشاورزی و منابع طبیعی)*. سال سیزدهم، شماره ۴۹، صفحات ۱۵۳-۱۶۴.

سلمان ماهینی، ع؛ فقهی، ج؛ نادعلی، آ؛ ریاضی، ب.، ۱۳۸۷. بررسی تغییرات پوشش درختی استان گلستان به روش طبقه‌بندی شبکه عصبی مصنوعی با استفاده از داده‌های سنجنده TM و ETM+ و ماهواره لندست. *مجله تحقیقات جنگل و صنوبر ایران*. سال شانزدهم، شماره ۳، صفحات ۴۹۵-۵۰۵.

شریفی‌پور، ر؛ دانه‌کار، ا؛ نوری، ج.، ۱۳۸۷. ارزیابی حساسیت زیست محیطی سواحل شمالی خلیج فارس با توجه به ارزش‌های حفاظتی و کانون‌های آلوده‌ساز. *مجله محیط‌شناسی*. سال سی و چهارم، شماره ۴۸، صفحات ۱۰۲-۱۸۹.

ضیائیان فیروزآبادی، پ؛ ولیخانی، ا.ر؛ قتواتی، ع.، ۱۳۸۹. تهیه لندفرم و جزر و مد ساحل شهرستان بوشهر با استفاده از GIS، RS و GPS در محدوده قانون‌مندی ساحلی (CRZ). *فصلنامه مدرس علوم انسانی*. سال چهاردهم، شماره ۱، صفحات ۲۱۴-۲۳۴.

غلامی‌نیا، ع.، ۱۳۸۸. تحلیل فضایی کاربری اراضی شهر بوشهر. *پایان‌نامه کارشناسی ارشد*. دانشگاه اصفهان. ۲۶۴ صفحه.

قرلسفلی، م؛ علوی‌پناه، س.ک.، ۱۳۸۹. کاربرد تفسیر بصری داده‌های ماهواره‌ای در آشکارسازی تغییرات خط ساحلی. *همایش ژئوماتیک*.

- District Swat, Hindu Kush Himalayan region of Pakistan. *Applied Geography*, 31: 820-828.
- Rosenfield, G.H.; Fitzpatrick-Lins, K., 1986. A Coefficient of Agreement as a Measure of Thematic Classification Accuracy, In *Photogrammetric Engineering and Remote Sensing*, 52(2): 223-227.
- Schulz, J.J.; Cayuela, C.; Echeverria, C.; Salas, J.; Rey Benayas, J.M., 2010. Monitoring land cover change of the dryland forest landscape of Central Chile (1975–2008). *Applied Geography*, 30(3): 436–447.
- Shalaby, A.; Tateishi, A., 2007. Remote sensing and GIS for Mapping and Monitoring Land Cover and Landuse changes in the northwestern coastal zone of Egypt. *Applied Geography*, 27(1): 28-41.
- Van Oort, P.A.J., 2007. Interpreting the change detection error matrix. *Remote Sensing of Environment*, 108(1): 1-8.
- Weng, Q., 2002. Land use change analysis in the Zhujiang Delta of China using satellite remote sensing, GIS and stochastic modeling. *Journal of Environmental Management*, 64: 273-284.
- Zanganeh Shahraki, S.; Sauri, D.; Serra, P.; Modugno, S.; Seifoddini, F.; Pourahmad, A., 2011. Urban sprawl pattern and land-use change detection in Yazd, Iran. *Habitat International*, 35(4): 521–528.
- Worcester, MA.
- Ketchum, B.H., 1972. The water-s edge; critical problems of the coastal zone. Proceeding of the coastal zone workshop, woods hole, Massachusetts. 22 May-3 June, MIT Press, Cambridge, MA.
- Khoi, D.D.; Murayama, Y., 2010. Forecasting Areas Vulnerable to Forest Conversion in the Tam Dao National Park Region, Vietnam. *Remote Sensing*, 2(5): 1249–1272.
- Mallinis, G.; Emmanoloudis, D.; Giannakopoulos, V.; Maris, F.; Koutsias, N., 2011. Mapping and interpreting historical land cover/land use changes in a Natura 2000 site using earth observational data: The case of Nestos delta, Greece. *Applied Geography*, 31(1): 312–320.
- Mendoza, M.E.; Granados, E.L.; Geneletti, D.; Pérez-Salicrup, D.R.; Salinas, V., 2011. Analysing land cover and land use change processes at watershed level: A multitemporal study in the Lake Cuitzeo Watershed, Mexico (1975-2003). *Applied Geography*, 31: 237-250.
- Pontius, R.G., 2000. Quantification Error versus Location Error in Comparison of Categorical Maps. In *Photogrammetric Engineering and Remote Sensing*, 66(8): 1011-1016.
- Qasim, M.; Hubacek, K.; Termansen, M.; Khan, A., 2011. Spatial and temporal dynamics of land use pattern in